

На рис. 4 показан пример записи нестационарной генерации в СГ, возникающей при замыкании цепи обратной связи. Экспериментальное изучение процессов установления стационарного режима генерации и динамической неустойчивости проводилось на СГ с оптической накачкой, работающем на изотопе ртути ^{199}Hg с регистрацией поперечного сигнала по эффекту Фарадея [15]. Поскольку спин ядра изотопа ^{199}Hg равен $1/2$, то в соответствии с [16] движение оптически ориентированных ядер атомов ртути описывается уравнениями Блоха, используемыми выше для описания СГ. Наблюдение продольной компоненты намагниченности проводилось с помощью фотоприемника, регистрирующего луч накачки.

СПИСОК ЛИТЕРАТУРЫ

- [1] Dunsmuir R. J. Electron. and Control, 1961, 10, N 6, p. 453. [2] Ланда П. С. Автоколебания в системах с конечным числом степеней свободы. М.: Наука, 1980. [3] Леше А. Ядерная индукция. М.: ИЛ, 1963. [4] Абрагам А. Ядерный магнетизм. М.: ИЛ, 1963. [5] Умарходжаев Р. М. Изв. вузов. Сер. Радиофизика, 1971, 14, № 8, с. 1189. [6] Теодорчик К. Ф. Автоколебательные системы. М.: Гостехиздат, 1952. [7] Умарходжаев Р. М. Изв. вузов. Сер. Радиофизика, 1964, 7, с. 1207. [8] Померанцев Н. М., Рыжков В. М., Скродцкий Г. В. Физические основы квантовой магнитометрии. М.: Наука, 1972. [9] Ханин Я. И. Квантовая радиофизика. М.: Сов. радио, 1975, т. 2. [10] Кузнецов П. И., Малыгин Л. И. Электричество, 1967, 7, с. 82; Куммер F., Retzlaff G. Zs. Angew. Phys., 1969, 27, N 6, p. 371. [11] Морозов А. А., Москалев В. В. В кн.: Ядерный магнитный резонанс. Л.: Изд-во ЛГУ, 1968, ч. II, с. 48. [12] Капцов Л. Н. Радиотехн. и электроника, 1975, 20, № 12, с. 2496. [13] Прохоров А. М. Радиотехн. и электроника, 1963, 8, № 6, с. 1073. [14] Wagner W. G., Lenguel B. A. J. Appl. Phys., 1963, 34, N 7, p. 2040. [15] Manuel J., Cohen-Tannoudji Cl. Compt. Rend., 1963, B-257, p. 413. [16] Cohen-Tannoudji Cl. Ann. de Phys., 1962, 7, p. 423—460; 471—503.

Поступила в редакцию
22.02.82

ВЕСТН. МОСК. УН-ТА. СЕР. 3. ФИЗИКА. АСТРОНОМИЯ, 1983, Т. 24, № 2

УДК 532.517.4.627.157

АНАЛИЗ СТАТИСТИЧЕСКОЙ ОБРАБОТКИ СЛУЧАЙНОГО ПРОЦЕССА НА ПРИМЕРЕ ПУЛЬСАЦИЙ СКОРОСТИ РУСЛОВОГО ПОТОКА

В. П. Петров, О. П. Петросян, И. П. Харченко

(кафедра физики моря и вод суши)

Для статистического анализа пульсаций скорости руслового потока обычно определяют следующие параметры: математическое ожидание, дисперсию, среднеквадратичное отклонение, коэффициент асимметрии, эксцесс, корреляционные и спектральные функции.

Выражения для корреляционных и спектральных функций для практических расчетов на ЭВМ приводились соответственно к виду

$$R(\tau_m) = \frac{1}{D_u} \frac{1}{N-m} \sum_{i=1}^{N-m} [u(t_i) - m_u] [u(t_i + \tau_m) - m_u],$$

$$S(f_i) = 2\Delta t \left[R_0 + 2 \sum_{k=1}^{M-1} \omega_k(\tau) R(\tau) \cos \frac{\pi k i}{F} \right],$$

где D_u — дисперсия, m_u — математическое ожидание, $\tau_m = m\Delta t$, $m = 0, 1, 2, \dots, M-1$, M — точка отсечения корреляционной кривой, о ко-

торой еще будет сказано ниже, Δt — шаг дискретности, $\omega_i(\tau)$ — так называемое спектральное окно, которое позволяет исключить низкочастотные колебания, не обеспеченные длиной реализации, и рассчитывается как

$$\omega_i(\tau) = \omega_i(k\Delta t) = \frac{1}{2} \left(1 + \cos \frac{\pi k}{l} \right).$$

При $\omega_i(\tau) = 1$ сглаживание не применяется. Кроме того,

$$f_i = i\Delta f; \quad \Delta f = 1/2F\Delta t; \quad 1 \leq i \leq F.$$

Перед вычислением корреляционных функций и функций спектральной плотности исходный массив значений пульсаций скорости проверялся на стационарность. Исследуемые реализации оказались нестационарными по математическому ожиданию, что вызывается ограничением длины реализации по времени. Для приведения исходного ряда к стационарному виду и проводилась фильтрация, исключающая те низкочастотные колебания, которые не обеспечены длиной реализации. При этом необходимо учитывать, что в связи с преобразованием исходного ряда диапазон исследуемых частот должен измениться.

Обычно при обработке без применения спектральных окон считали, что диапазон исследуемых частот ограничен снизу частотой, связанной с длиной реализации по времени, т. е.

$$f = 10/T \text{ Гц.}$$

Рассмотрим ограничение, вводимое спектральным окном. Как известно, основное содержание того или иного способа фильтрации заключается в выборе математического ожидания и дисперсии, которые считаются не для всего ряда, а для группы членов этого ряда. Практическое исследование влияния параметров высокочастотных фильтров на спектральные характеристики приведено в работе [1]. Теоретически же вопрос о выборе параметров фильтров в литературе рассмотрен недостаточно.

Для выбора высокочастотного фильтра сравнивались частотные характеристики двух часто используемых линейных фильтров: «скользящее среднее» (СС) и «скользящее среднее с косинус-ядром Тьюки» (ССТ) [2]. Частотная характеристика в данном случае показывает, какова будет величина амплитуды косинусоиды на выходе фильтра, если на его входе косинусоида была с единичной амплитудой, т. е.

$$\cos 2\pi ft \rightarrow \boxed{G(f)} \rightarrow G(f) \cos 2\pi ft,$$

где $G(f)$ — частотная характеристика фильтра.

В случае дискретных рядов фильтр СС, который для анализа нестационарных процессов был применен в работе [3] и в котором весовой коэффициент равен единице, переводит ряд u_k в ряд \tilde{u}_k , члены которого определяются выражением

$$\tilde{u}_k = u_k - \frac{1}{2l+1} \sum_{i=-l}^l h_i u_{k+i},$$

где $h_i = h_{-i} = 1$ для $i = \pm 1, \pm 2, \pm 3, \dots, \pm l$,

$$h_0 = 1 - 1/(2l+1),$$

l — параметр фильтра.

Для фильтра ССТ, в котором весовой коэффициент отличен от единицы, \tilde{u}_k определяется как

$$\tilde{u}_k = u_k - \frac{1}{2l} \sum_{i=-l}^l \left(1 + \cos \frac{\pi i}{l}\right) u_{k+i} = \sum_{i=-l}^l h_i u_{k+i},$$

где

$$h_i = h_{-i} = 1 + \cos(\pi i/l) \text{ для } i = \pm 1, \pm 2, \pm 3, \dots, \pm l, \\ h_0 = 1 - 1/l,$$

l — параметр фильтра. Нормировка для фильтров выбрана так, что $\tilde{u}_k = 0$, если $u_k = \text{const}$. Подставляя вместо u_k функцию $\cos 2\pi f i \Delta$ ($t = i\Delta$ для дискретных рядов, Δ — шаг дискретности) так, что $u_k = 1$ при $i=0$, получаем

$$G_1(f) = 1 - \frac{2}{2l+1} \sum_{i=1}^l \cos 2\pi f i \Delta,$$

$$G_2(f) = 1 - \frac{1}{l} - \frac{1}{l} \sum_{i=1}^{l-1} h_i \cos 2\pi f i \Delta,$$

где $G_1(f)$ — частотная характеристика фильтра СС, $G_2(f)$ — частотная характеристика фильтра ССТ.

Частотные характеристики для параметра $l=10$ приведены на рис. 1. Частотная характеристика фильтра СС оказалась с существенно большей амплитудой осцилляций, что искажает спектр исследуемых частот. На рис. 2 для различных параметров l приведены частотные характеристики фильтра ССТ, по которым можно примерно выбрать l для исследования нужного участка спектра.

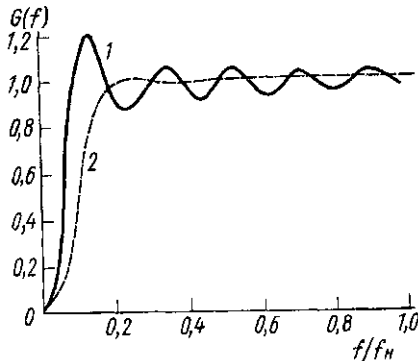


Рис. 1. Частотные характеристики фильтров «скользящее среднее» (1) и «скользящее среднее с косинус-ядром Тьюки» (2) для параметра $l=10$

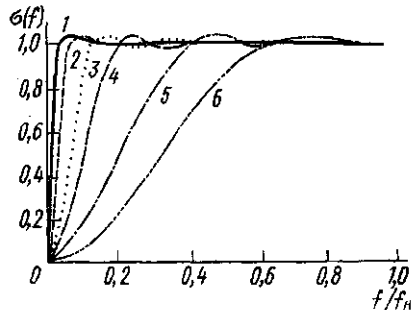


Рис. 2. Частотная характеристика фильтра «скользящее среднее с косинус-ядром Тьюки» для различных l : $l=60$ (1), 30 (2), 15 (3), 10 (4), 5 (5) и 3 (6)

Однако для работы с фильтром надо знать частоты, когда $G(f) = 0,5$; $G(f) = 0,7$ и частоту, начиная с которой $G(f) = 1$. Покажем, что для любого l

$$f_{0,5} = f_N/l,$$

где $f_{0,5}$ частота такая, что $G(f_{0,5})=0,5$. Используя выражение для $G_2(f)$, запишем:

$$G(f) = 1 - \frac{1}{l} - \frac{1}{l} \sum_{i=1}^{l-1} \left(1 + \cos \frac{\pi i}{l}\right) \cos 2\pi f i \Delta.$$

При

$$f = f_{0,5} = f_N/l,$$

$$\begin{aligned} G(f_{0,5}) &= 1 - \frac{1}{l} - \frac{1}{l} \sum_{i=1}^{l-1} \left(1 + \cos \frac{\pi i}{l}\right) \cos \frac{\pi i}{l} = \\ &= 1 - \frac{1}{l} - \frac{1}{l} \sum_{i=1}^{l-1} \cos \frac{\pi i}{l} - \frac{1}{2l} \sum_{i=1}^{l-1} \left(1 + \cos \frac{2\pi i}{l}\right). \end{aligned}$$

Для четного l , очевидно, что

$$\begin{aligned} \sum_{i=1}^{l-1} \cos \frac{\pi i}{l} &= 0, \\ \sum_{i=1}^{l-1} \cos \frac{2\pi i}{l} &= -1. \end{aligned}$$

Таким образом, для четного l имеем

$$G(f_{0,5}) = 1 - 1/l - (l-1)/(2l) + 1/2l = 1/2.$$

Докажем это для l нечетного. Очевидно, что

$$\begin{aligned} G(f_{0,5}) &= 1 - \frac{1}{l} - \frac{1}{l} \sum_{i=1}^{l-1} \left(1 + \cos \frac{\pi i}{l}\right) \cos \frac{\pi i}{l} = \\ &= 1 - \frac{1}{l} - \frac{1}{l} \sum_{i=1}^l \left(1 + \cos \frac{\pi i}{l}\right) \cos \frac{\pi i}{l} = \\ &= 1 - \frac{1}{l} - \frac{1}{l} \sum_{i=1}^l \cos \frac{\pi i}{l} - \frac{1}{2l} \sum_{i=1}^l \left(1 + \cos \frac{2\pi i}{l}\right) = \\ &= 1 - \frac{1}{l} + \frac{1}{l} - \frac{1}{2} - \frac{1}{2l} \sum_{i=1}^l \cos \frac{2\pi i}{l} = \frac{1}{2} - \frac{1}{2l} \sum_{i=1}^l \cos \frac{2\pi i}{l}. \end{aligned}$$

Покажем, что

$$\sum_{i=1}^l \cos \frac{2\pi i}{l} = 0.$$

Ясно, что

$$\sum_{i=1}^l \cos \frac{2\pi i}{l} = - \sum_{i=1}^l \cos \left(\frac{2\pi i}{l} + \frac{\pi}{l}\right),$$

так как в этом случае все члены первой суммы заменяются на такие же, но с противоположным знаком во второй сумме.

Далее,

$$\sum_{i=1}^l \left[\cos \frac{2\pi i}{l} + \cos \left(\frac{2\pi i}{l} + \frac{\pi}{l} \right) \right] = 0,$$

отсюда

$$\sum_{i=1}^l \cos \left(\frac{2\pi i}{l} + \frac{\pi}{2l} \right) = 0,$$

$$\cos \left(\sum_{i=1}^l \cos \frac{2\pi i}{l} \right) \cos \frac{\pi}{2l} - \sin \frac{\pi}{2l} \left(\sum_{i=1}^l \sin \frac{2\pi i}{l} \right) = 0,$$

$$\sum_{i=1}^l \sin \frac{2\pi i}{l} = 0,$$

так как здесь все члены имеют равные себе по модулю и противоположные по знаку значения, т. е. попарно уничтожаются. Таким образом,

$$\sum_{i=1}^l \cos \frac{2\pi i}{l} = 0 \text{ и } G(f_{0,5}) = \frac{1}{2}.$$

Путем аналогичных рассуждений можно показать, что

$$f_1 = 2f_N/l,$$

где f_1 — частота, начиная с которой $G(f) = 1$. Что касается $f_{0,7}$ (т. е. частоты, когда $G(f) = 0,7$), то

$$f_{0,7} \approx (1,25/l)f_N.$$

Эти соотношения наводят на мысль, что все характеристики фильтра ССТ «подобны» с параметром «подобия» f_N/l . Действительно, рис. 2 показывает, что все характеристики имеют близкие или одинаковые величины, если совпадают соответствующие им параметры f_N/l . Таким образом, вообще говоря, можно было бы рассчитать одну частотную характеристику для большого l , а остальные получить из нее.

Подобие частотных характеристик дает возможность сравнивать результаты (спектры, дисперсии и т. д.), если исходные процессы преобразованы в дискретные ряды с различным шагом. Действительно, различная дискретность дает различные значения f_N , а выбирая l так, чтобы

$$f_{N_1}/l_1 \approx f_{N_2}/l_2,$$

получаем практически одинаковые частотные характеристики фильтра в пределах до меньшей f_N .

Анализ выбора оптимальной (для данных конкретных условий) точки отсечения M корреляционной кривой опирается на результаты работ [1, 2] и исходил из двух альтернативных условий: чем меньше M , тем уже доверительные интервалы для данной спектральной оценки; с другой стороны, чем больше M , тем меньше степень искажения.

Практически в заданном диапазоне частот и длины реализации компромиссный выбор значения точки отсечения при планировании спектрального анализа можно сделать следующим образом. Если сделать предположение о ширине d самой узкой детали спектра или, наоборот, требуется «обнаружить» деталь спектра шириной не меньше d , то точку отсечения M нужно выбрать так, чтобы ширина полосы частот окна $b=b_1/L\Delta$ была меньше d , где $L\Delta=M$, Δ — шаг дискретности, L — количество значений дискретной корреляционной функции, которые нужно сосчитать. Для окна Тьюки $b_1=1,33$.

В программе статистического анализа пульсаций скорости руслового потока для высокочастотной фильтрации применялся фильтр ССТ. Для примера анализа выше методике были обработаны ряды значений яркости переменной звезды для 600 последовательных суток, проанализированные в работе [4] методом периодограммы. На рис. 3 приведена периодограмма значений яркости η переменной

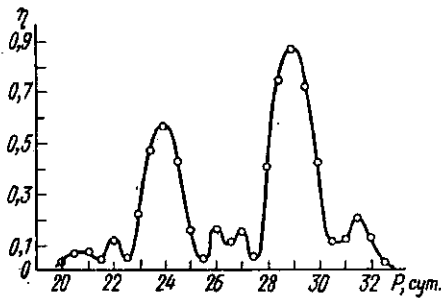


Рис. 3. Периодограмма значений яркости η переменной звезды для 600 последовательных суток

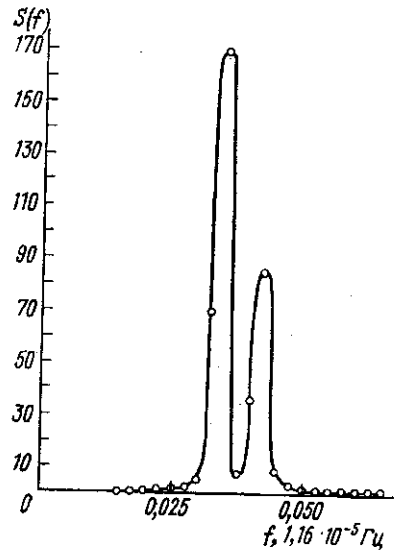


Рис. 4. Спектр значений яркости переменной звезды для 600 последовательных суток с параметрами фильтра $l=30$ и $M=350$

ной звезды для 600 последовательных суток, по которой можно сделать вывод, что изменения η протекают с частотами $f_1=0,035 \cdot 1,16 \cdot 10^{-5}$ Гц и $f_2=0,042 \cdot 1,16 \cdot 10^{-5}$ Гц. Остальные же максимумы на периодограмме, амплитуда которых существенно меньше основных, оказались ложными (т. е. являются ошибками данной методики счета). Таким образом, задавая ширину $d=0,004$ Гц самой узкой детали спектра, M выбираем из условия $M > b_1/b$; l выбираем так, чтобы начиная с частоты $f_1=0,03$ Гц частотная характеристика фильтра равнялась единице, т. е. $l=f_N/f_1$. На рис. 4 показан спектр значений яркости переменной звезды, взятых из работы [4], с параметрами фильтра $l=30$ и $M=350$. Спектр имеет два максимума, приходящиеся на те же частоты, которые были получены методом периодограммы. Надо отметить, что при правильном выборе параметров фильтра ложных пиков в спектре не наблюдается. Таким образом, предложенный метод позволяет получить истинные значения спектра изучаемого процесса в заданном диапазоне частот.

СПИСОК ЛИТЕРАТУРЫ

[1] Михайлова Н. А., Харченко И. П. Лабораторные и натурные исследования турбулентности русловых потоков в низкочастотной области спектра. Деп.

УДК 551.482.214.51

МОДЕЛЬ ВЕРТИКАЛЬНОГО РАСПРЕДЕЛЕНИЯ ТЕМПЕРАТУРЫ И КОНЦЕНТРАЦИИ РАСТВОРЕННОГО КИСЛОРОДА ПРИ КОНВЕКТИВНОМ ПЕРЕМЕШИВАНИИ ВЕРХНЕГО СЛОЯ ВОДОЕМА

В. В. Алексеев, Ю. И. Горбатов, А. Ю. Лоскутов

(кафедра физики моря и вод суши)

В работе [1] нами была построена модель кислородного режима пресного водоема при летнем нагреве. В настоящей работе делается попытка моделирования температурного и кислородного режима водоема при осеннем выхолаживании с учетом конвективного перемешивания.

Изучение динамики вертикального распределения температуры и концентрации кислорода при выхолаживании водоема сверху было

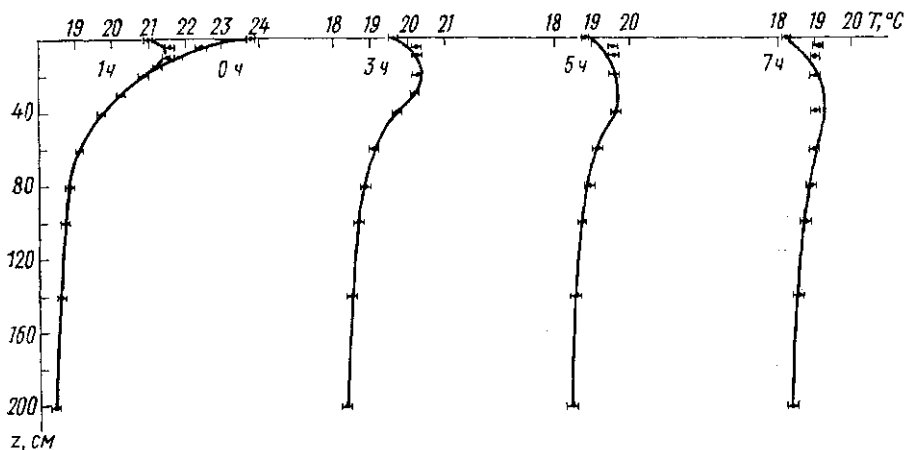


Рис. 1. Сравнение теоретических профилей температуры воды (кривые) с экспериментальными данными (точки). Время указано в часах после начала выхолаживания

проведено на экспериментальной установке, подробно описанной в работе [1]. Вода в бассейне была устойчиво стратифицирована, причем температура поверхностного слоя воды составляла $23,8^{\circ}\text{C}$, а придонного слоя — $18,5^{\circ}\text{C}$. Температура воды измерялась на 18 фиксированных горизонтах платиновыми термометрами сопротивления и регистрировалась самописцами КСМ-4. Точность измерения $\pm 0,1^{\circ}\text{C}$. Концентрация растворенного кислорода в поверхностном слое составляла $8,5\text{ мг/л}$, на глубине 60 см достигала $11,3\text{ мг/л}$ и оставалась такой же до дна бассейна. Концентрация кислорода измерялась на 12 фиксированных горизонтах торцевыми мембранными оксиметрами и регистрировалась самописцем КСП-4. Точность измерения $0,2\text{ мг/л}$.